

大飯発電所第3,4号機
火災感知器増設に係る
設計及び工事計画認可申請

補足説明資料
(抜粋)

2022年7月
関西電力株式会社



：今回抜粋箇所

<目次>

1. 火災感知器の性能に係るもの

- 1・1 アナログ式の煙感知器、アナログ式の熱感知器、アナログ式でない炎感知器及びアナログ式でない熱感知器について
- 1・2 アナログ式でない防爆型の炎感知器について
- 1・3 熱を感知できる光ファイバケーブルについて
- 1・4 热サーモカメラ、アナログ式でない防水型の炎感知器について
- 1・5 感知器と同等の機能を有する機器の環境性能について

2. 火災感知器の配置に係るもの

- 2・1 火災区域又は火災区画の火災感知器の設置個数について
- 2・2 火災区域又は火災区画の火災感知器の配置図について
- 2・3 火災感知器の配置設計における消防設備士の確認項目について
- 2・4 火災感知器の配置設計における関西電力と協力会社の責任分担及び消防設備士関与の品質プロセスについて

3. 消防法施行規則の設置条件と異なる感知設計に係るもの

- 3・1 火災区域・区画の特性に応じた感知設計について
- 3・2 原子炉格納容器の火災感知器設計について
- 3・3 海水管トンネルエリアの火災感知器設計について
- 3・4 燃料油貯蔵タンク及び重油タンクエリアの火災感知器設計について
- 3・5 固体廃棄物貯蔵庫の火災感知器設計について
- 3・6 放射線量が高い場所を含むエリアの火災感知器設計について
- 3・7 海水ポンプエリアの火災感知器設計について
- 3・8 空冷式非常用発電装置エリアの火災感知器設計について
- 3・9 使用済燃料ピットエリア及び新燃料貯蔵庫エリアの火災感知器設計について
- 3・10 燃料取替用水ピットエリア及び復水ピットエリアの火災感知器設計について
- 3・11 放射線量が高い場所を含むエリアの火災感知器設計に関する実用発電用原子炉及びその附属施設の技術基準に関する規則への適合性について
- 3・12 水蒸気が多量に滞留するエリアの火災感知器設計について

4. 火災受信機盤に係るもの

- 4・1 火災受信機盤の機能について
- 4・2 消火設備用感知器の流用について

5. その他

- 5・1 本設計及び工事計画の申請範囲について
- 5・2 条文整理表について
- 5・3 設計及び工事計画認可申請書に添付する書類の整理について
- 5・4 火災感知設備増設における「工事の方法」の該当箇所について
- 5・5 火災感知設備の耐震性について

参考資料－1 火災感知設備の技術基準規則上の整理について

参考資料－2 感知区画の定義について

参考資料－3 火災区画と管理区域の設定範囲について

3・2 原子炉格納容器の火災感知器設計について

本資料は、原子炉格納容器に設置する火災感知器の設計について説明する。

火災防護審査基準における火災区域、区画の設定において、大飯3号機及び大飯4号機の原子炉格納容器はそれぞれ1つの火災区画として設定している。

今回、原子炉格納容器の火災感知器の設計にあたっては、原子炉格納容器内の環境条件を考慮し、この火災区画を分割し、エリア毎に設計する。

3・2・1 原子炉格納容器内のエリア、フロアの概要

原子炉格納容器は、その容器内に原子炉容器、加圧器、蒸気発生器、1次冷却材ポンプやそれらを接続する配管等の機器を収納している。原子炉格納容器内の環境条件を考慮すると、第3・2・1図に示す原子炉格納容器の概略図のとおり、3つのエリアに分類することができる。

①一般エリア

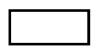
原子炉格納容器内のうち下階層の周回通路沿いのエリア

②放射線量が高い場所を含むエリア

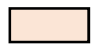
運転中において線量当量率が最も高い区分3のエリア（原子炉格納容器ループ室、加圧器室、再生熱交換器室、炉内計装用シンプル配管室）

③高天井エリア

原子炉格納容器内最上部でオペレーティングフロアから上部のエリア（キャビティを含む。）



：一般エリア



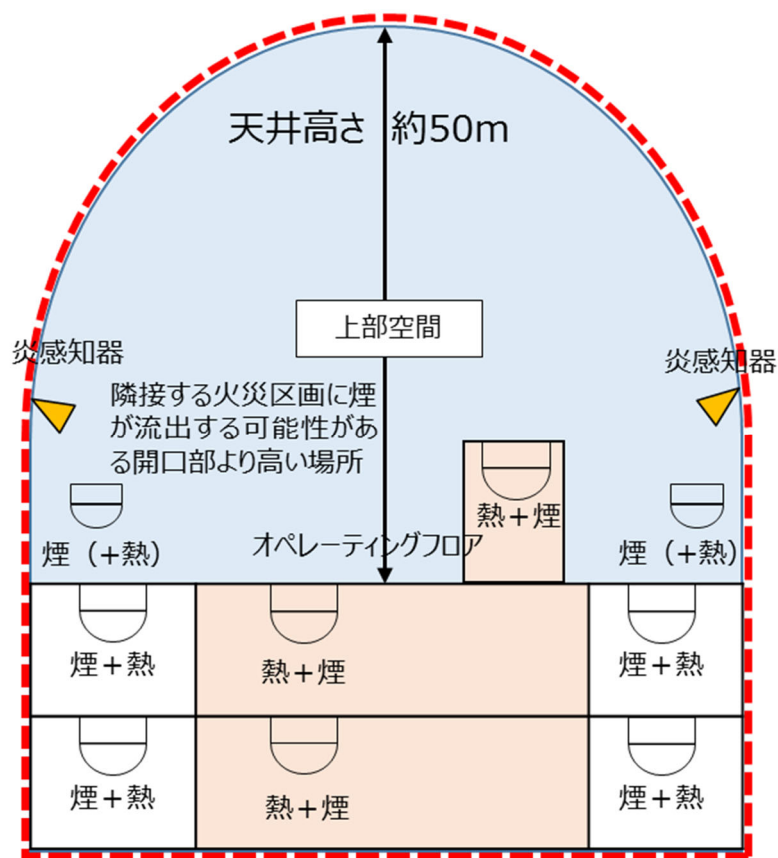
：放射線量が高い場所を含むエリア



：高天井エリア



：火災区画



第3・2・1図 原子炉格納容器の概略図

3-2-2 原子炉格納容器内の換気空調設備による空気の流れについて

プラント運転時及び停止時における原子炉格納容器内の換気空調設備による空気の流れを以下に示す。

(1) プラント運転時

プラント運転時は、格納容器再循環ファン、蒸気発生器室給気ファン及び加圧器室給気ファン等により構成される格納容器再循環系統により、原子炉格納容器内の空気を取り込み、原子炉格納容器内に排出することで、原子炉格納容器内で空気を循環させる設計としている。各ファンのプラント運転時における運転台数及び設計流量を第 3-2-1 表に示す。

第 3-2-1 表 プラント運転時における格納容器再循環系統について

| ファン名称 | 運転台数 | 設計流量 | 計測風量 |
|-------------|------|------|------|
| 格納容器再循環ファン | 3 台 | | |
| 蒸気発生器室給気ファン | 2 台 | | |
| 加圧器室給気ファン | 1 台 | | |

プラント運転時における格納容器再循環系統の設計総流量は約 ■ m³/min である。原子炉格納容器の自由体積が約 ■ m³ であることから、5 分未満で原子炉格納容器の自由体積分の空気を循環させる流量をもっており、格納容器再循環系統により原子炉格納容器内全体の空気を循環させることが可能である。

プラント運転時における原子炉格納容器内の格納容器再循環系統の空気の流れを、第 3-2-2 図に示す。

枠囲みの範囲は機密に係る事項ですので公開することはできません。

第3-2-2図 プラント運転中における格納容器再循環系統の空気の流れ

枠組みの範囲は機密に係る事項ですので公開することはできません。

(2) プラント停止時

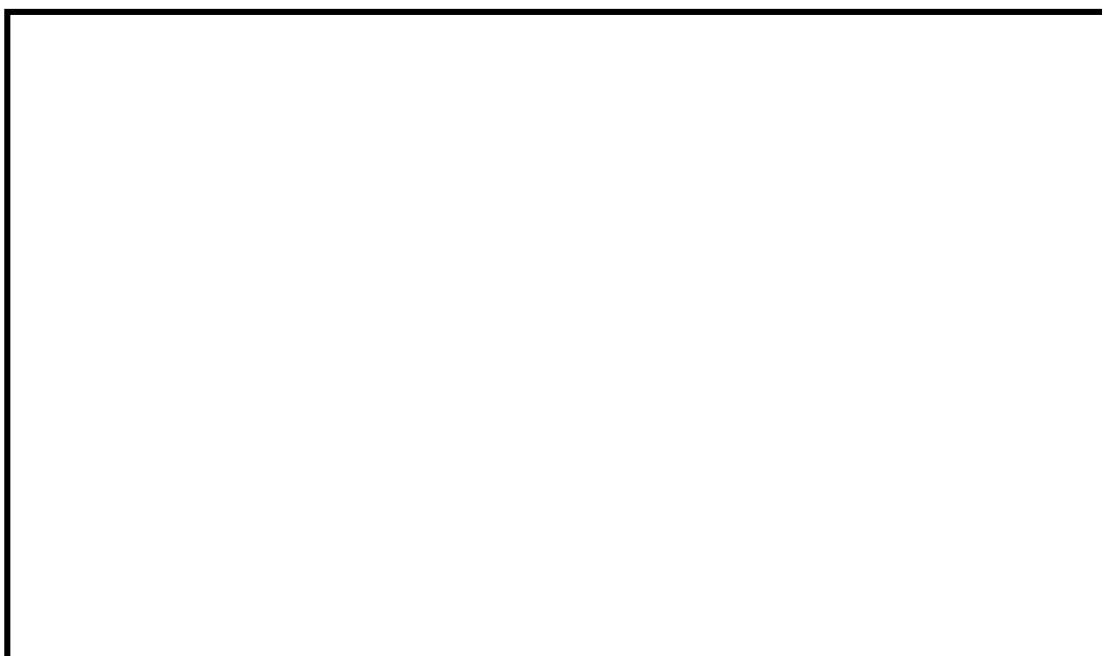
プラント停止時は、格納容器再循環系統は停止状態となるが、格納容器給気ファン及び格納容器排気ファン等により構成される格納容器空調系統により、原子炉格納容器外の新鮮な空気を原子炉格納容器内に給気し、排気筒を通じて格納容器外に排出することで、原子炉格納容器内の空気を換気及び浄化させる設計としている。各ファンのプラント停止時における運転台数及び設計流量を第 3・2・2 表に示す。

第 3・2・2 表 プラント停止時における格納容器空調系統について

| ファン名称 | 運転台数 | 設計流量 | 計測風量 |
|-----------|------|------|------|
| 格納容器給気ファン | 2 台 | | |
| 格納容器排気ファン | 2 台 | | |

プラント停止時における格納容器空調系統の総給気流量及び総排気流量はそれぞれ約 m³/min である。原子炉格納容器の自由体積が約 m³ であることから、30 分未満で原子炉格納容器の自由体積分の空気を換気及び浄化させる流量をもっており、格納容器空調系統により原子炉格納容器内全体の空気を換気及び浄化させることが可能である。

プラント停止時における原子炉格納容器内の格納容器空調系統の空気の流れを、第 3・2・3 図及び第 3・2・4 図に示す。格納容器給気ファンより給気された空気は、排気ダクトを通って排気筒より排気される。



第 3・2・3 図 プラント停止中における格納容器空調系統の空気の流れ（平面図）

枠囲みの範囲は機密に係る事項ですので公開することはできません。

第3-2-4図 プラント停止中における格納容器空調系統の空気の流れ（系統図）

枠囲みの範囲は機密に係る事項ですので公開することはできません。

3-2-3 原子炉格納容器の火災感知器設計

3-2-1 項で分類した①～③のそれぞれのエリアについて、そのエリア内の環境条件等をもとにそれぞれの火災感知器の選定、設計の考え方について説明する。

(1) 一般エリア

原子炉格納容器内のうち下層階の周回通路沿いのエリアであり、ループ室内の主要機器からの配管、隔離弁等が設置されているが、高天井エリアや放射線量が高い場所を含むエリアにも該当しないため、アナログ式の煙感知器とアナログ式の熱感知器の異なる2種類を選定し設置する設計とする。

(2) 放射線量が高い場所を含むエリア

保安規定及びその下部規定の放射線・化学管理業務要綱にて管理区域内の各エリアを線量当量率が低い方から区分1～3の3段階で区分し、プラント運転中において線量当量率が最も高い区分3のエリアであり、原子炉格納容器ループ室、加圧器室、再生熱交換器室及び炉内計装用シンプル配管室が該当する。

当該エリアの火災感知器設計については、補足説明資料3-6「放射線量が高い場所を含むエリアの火災感知器設計について」に示す。

(3) 高天井エリアにおける火災感知器設計

原子炉格納容器内最上部でオペレーティングフロアから上部のエリアであり、天井高さが床面から20m以上のエリアである。

一般エリア及び放射線量が高い場所を含むエリアには機器、配管、弁が設置されているが、このエリアはそのような主要な機器類ではなく、巨大な空間のエリアである。

イ. 火災感知器の選定

高天井エリアの環境条件等を踏まえた火災感知器の選定結果を第3-2-3表に示す。

第3-2-3表のとおり、高天井エリアにおいては、様々な火災感知器が使用可能であるが、オペレーティングフロアの現場施工性を考慮して、1種類目はアナログ式でない炎感知器を選定し、2種類目はアナログ式の煙感知器を選定する設計とする。

第3・2・3表 原子炉格納容器オペレーティングフロアにおける感知器の選定

| 感知方式 | 火災感知器種類 | 熱感知方式 | | | 煙感知方式 | | | 炎感知方式 |
|-------------------------------------|--|--|--|--|--|--|--|--|
| | | アナログ式の熱感知器 (スポット型) | アナログ式でない熱感知器 (スポット型) | 光ファイバー-ケーブル | 差動分布型熱感知器 (熱電対式、空気管式) | 熱サーモカメラ | アナログ式の煙感知器 (スポット型) | 空気吸引式の煙感知器 |
| 放射線の考慮 (故障の防止) | ○ | ○ | ○ | △ | △ | ○ | ○ | ○ |
| 環境条件の考慮 (取付面高さ、温度、空気流速等の感知性能の確保) | △ | △ | △ | △ | △ | △ | △ | △ |
| 基準適合性 (消防法施行規則への適合性含む) | ・消防法施行規則第23条第4項により熱感知器は設置不可 ・感知器は設置不可 ・熱が滞留する場所を監視できる場合に有効 | ・消防法施行規則第23条第4項により熱感知器は設置不可 ・感知器は設置不可 ・熱が滞留する場合に有効 |
| 誤作動の防止 | ○ | ○ | ○ | ○ | ○ | ○ | ○ | ○ |
| 網羅性の確保 | ○ | ○ | ○ | ○ | ○ | ○ | ○ | ○ |
| 電源の確保 | ○ | ○ | ○ | ○ | ○ | ○ | ○ | ○ |
| 監視 | ○ | ○ | ○ | ○ | ○ | ○ | ○ | ○ |
| 閑適性(網羅性の確保に必要な施工の成立性) | ○ | ○ | △ | △ | △ | ○ | ○ | △ |
| 評価 | 各感知方式で使用する火災感知器 | △ (熱が滞留する場合に限る) | △ (熱が滞留する場合に限る) | △ (熱が滞留する場合に限る) | △ (施工可能な場合に限る) | △ (煙が滞留する場合に限る) | △ (煙が滞留する場合に限る) | △ (施工可能な場合に限る) |

※環境条件及び現場施工性を考慮して、アナログ式の熱感知器を他の熱感知器との火災感知方式より優先使用環境条件及び現場施工性を考慮して、アナログ式の煙感知器を他の煙感知器との火災感知方式より優先使用

口. 火災感知器の選定理由及び設置方法

オペレーティングフロアは天井高さが床面から 20m 以上のエリアであり、炎感知器の設置は可能であるが、煙感知器と熱感知器は取付面の高さが消防法施行規則で規定される高さ以上であり、消防法施行規則第 23 条第 4 項第一号イにより設置することが適切ではないため、火災防護審査基準 2.2.1(1)②に定められた方法又は設計目標①を満足できる方法で設置することが困難である。

従って、アナログ式でない炎感知器は、オペレーティングフロアの床面上方に一部グレーチング床 [] が設置されていることを考慮し、グレーチングの上部と下部の床面をそれぞれ監視できるように火災防護審査基準 2.2.1(1)②に定められた方法により設置する設計とする。炎感知器の監視範囲を第 3・2・5 図に示す。

また、アナログ式の煙感知器については、プラント運転中は原子炉容器室冷却ファン、蒸気発生器室給気ファン（以下「各給気ファン」という。）及び原子炉格納容器再循環ファン（以下「再循環ファン」という。）の運転により原子炉格納容器内で空気が循環する設計となっていること、並びに、プラント停止中に原子炉内に燃料がある状態でこれらのファンを停止する運用となっていることを踏まえ、以下に記載するファンの運転状況と空気の流れを考慮して隣接する火災区画に煙が流出する可能性がある開口部より高い場所に設置する設計とする。

- ・各給気ファン及び再循環ファンの運転時においては、オペレーティングフロアの火災により発生した熱及び煙、あるいは原子炉格納容器ループ室の火災により流れ込む熱及び煙は、各給気ファンの運転により原子炉格納容器ループ室を通過してオペレーティングフロアに抜ける空気の流れに乗って上昇し、再循環ファンにより原子炉格納容器内で循環する設計となっていることから、火災の継続とともに原子炉格納容器内の空気温度及び煙濃度が全体的に均一になりながら高まっていく。
- ・各給気ファン及び再循環ファンの停止時においては、火災により発生した熱により上昇気流が発生すること及び格納容器給気ファン及び格納容器排気ファンが運転を継続していることから、オペレーティングフロアの火災により発生した熱及び煙、あるいは原子炉格納容器ループ室の火災により流れ込む熱及び煙は、格納容器給気ファンによって取り込まれる外気で攪拌されながらオペレーティングフロア内を対流し、格納容器排気ファンにより排出される。各給気ファン及び再循環ファンの停止時における火災による熱及び煙の流れを第 3・2・6 図に示す。

以上より、各給気ファン及び再循環ファンの運転時及び停止時において、発炎段階の火災は消防法施行規則どおりに設置する炎感知器により早期に感知し、発熱量の少ないくん焼段階の火災は発火源となり得る設備の直上及び火災により発生した煙の流路、並びに、隣接する火災区画に煙が流出する可能性がある開口部より高い場所に設置するアナログ式の煙感知器により感知することで設計目標②を満足する設計と

[] 枠囲みの範囲は機密に係る事項ですので公開することはできません。

する。火災により発生した煙の流路である原子炉格納容器ループ室上部の SG 側のグレーチング面への設置方法は、原子炉格納容器ループ室における設置方法に準じた設計とする。（補足説明資料 3-11 参照。）また、各給気ファン及び再循環ファンの停止時において、原子炉格納容器ループ室及び加圧器室上部の火災により流れ込む煙についても、隣接火災区画に流出する可能性がある開口部より高い場所に設置するアナログ式の煙感知器により感知する設計とする。

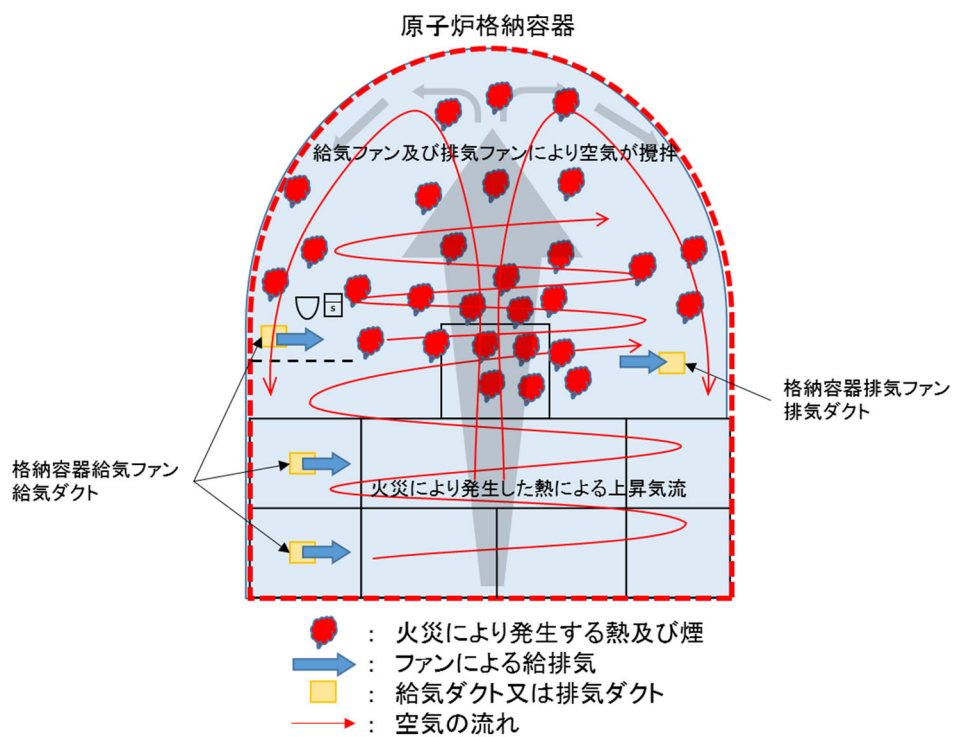
なお、発火源となり得る設備は、火花を発生する可能性のある設備及び高温の設備に該当する電気盤とし、アナログ式の熱感知器及びアナログ式の煙感知器を第 3-2-7 図のように電気盤の直上に支持鋼材（グレーチングのような開口部はない）を使用して設置する設計とする。アナログ式の熱感知器は、設計目標②の満足するために必須ではないが、より早期に火災を感知できるよう自主設置する設計とする。

オペレーティングフロアに設置するアナログ式の煙感知器を第 3-2-8 図に示し、原子炉格納容器内の開口部の位置を第 3-2-9 図、原子炉格納容器上部の設備設置状況を第 3-2-10 図に示す。

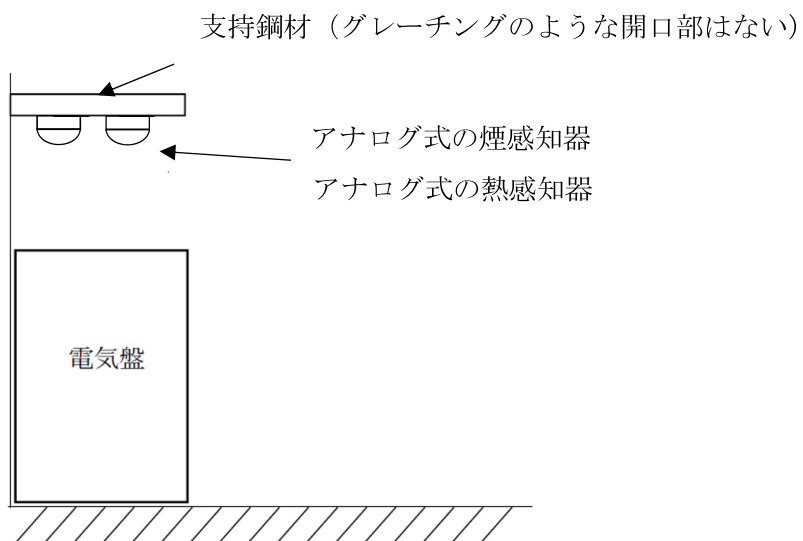


第 3-2-5 図 高天井エリアの感知器監視範囲図（大飯発電所 3 号機）

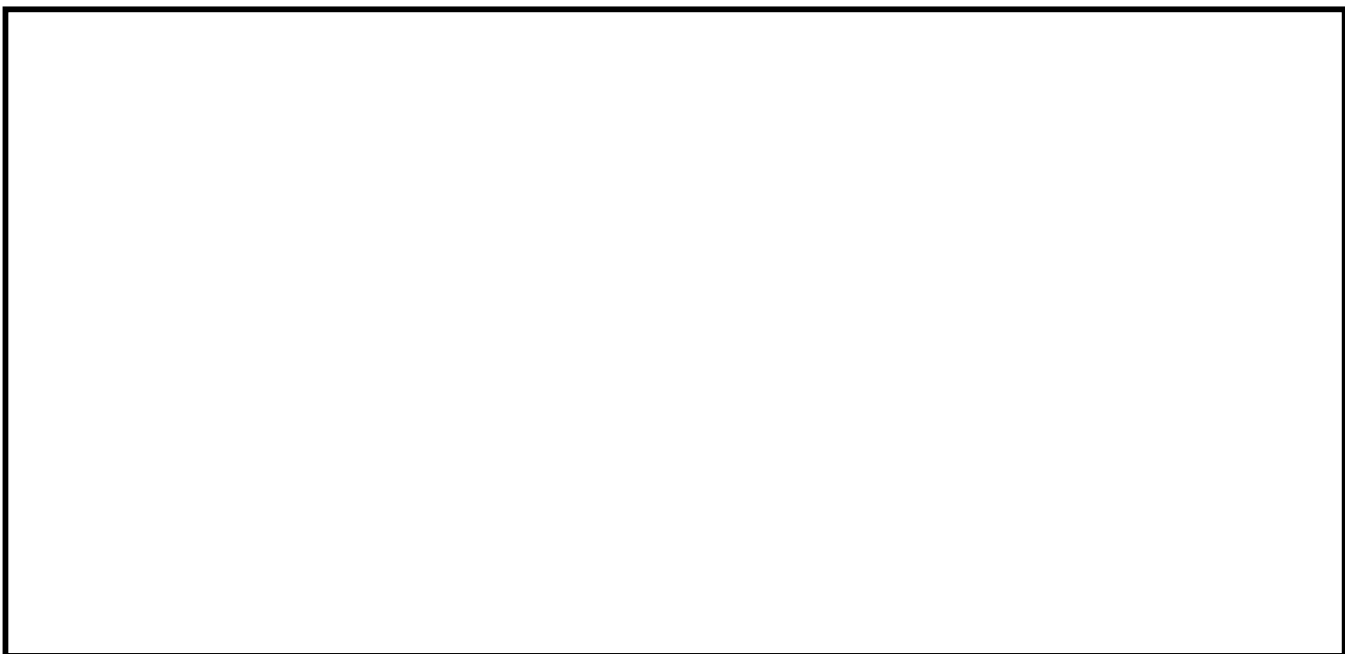
枠囲みの範囲は機密に係る事項ですので公開することはできません。



第3-2-6図 各給気ファン及び再循環ファンの停止時（格納容器給気・排気ファンは運転）における火災による熱及び煙の流れ



第3-2-7図 感知器設置イメージ



第3-2-8図 オペレーティングフロアに設置するアナログ式の煙感知器の配置図
(平面図)



第3-2-9図 原子炉格納容器内の開口部の配置図 (断面図)

枠囲みの範囲は機密に係る事項ですので公開することはできません。



第3-2-10図 原子炉格納容器上部の設備設置状況

ハ. 各給気ファン及び再循環ファン停止時における原子炉格納容器内オペレーティングフロアの火災発生時の設計

a. 原子炉格納容器内オペレーティングフロアの火災発生時の空気の流れと火災規模の定義

(a) 空気の流れによる火災規模の定義

各給気ファン及び再循環ファン停止時における原子炉格納容器内オペレーティングフロアで発生する火災の規模を煙の現象論を踏まえて大・中・小の3段階に分けて整理する。各火災規模を以下のとおり定義するとともに、第3-2-11図に各火災規模のイメージを示す。

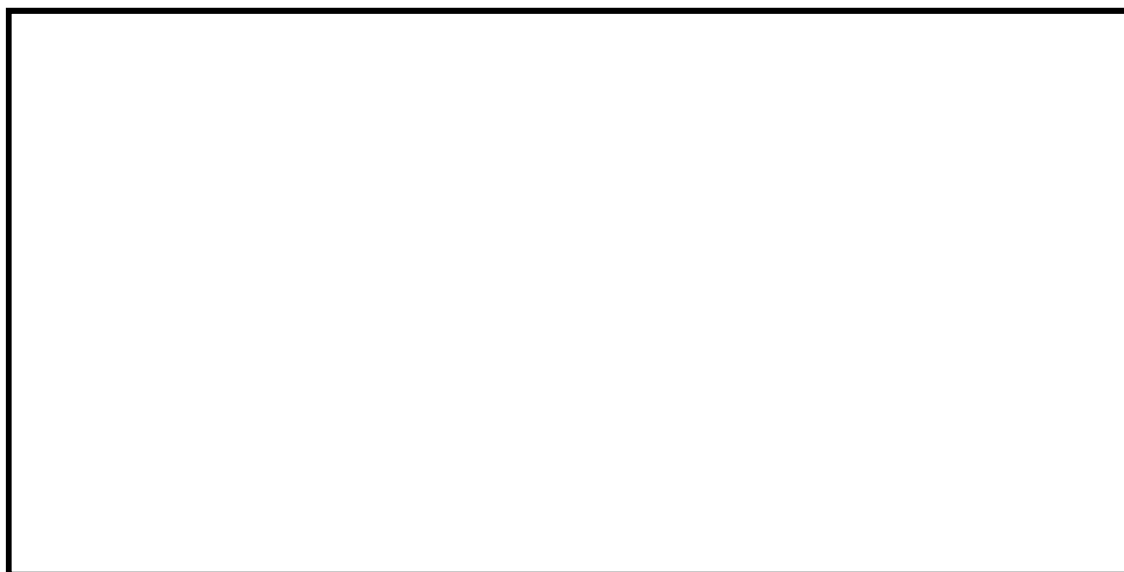
火災規模の定義

大：発熱量が大きく、熱の気流に乗ってC/V頂部まで上昇した煙が、コンクリート内壁に接触しながら冷却され、周囲の空気との密度差により生じる自然対流で煙が下降に転じるといった流れが継続する大規模火災

中：発熱量が中程度で、熱の気流に乗ってC/V頂部まで上昇した煙がC/V頂部で平衡状態となり下降せず、溜まり続ける中規模火災

小：発熱量が小さく、熱の気流に乗って煙が上昇する過程で、周囲の空気に熱を奪われ、上昇力を失い、C/V内の低い層で煙が水平方向に拡散する流れの方が優位となる小規模火災

枠囲みの範囲は機密に係る事項ですので公開することはできません。



火災規模 小 中 大
第3-2-11図 各火災規模のイメージ図 (■ が煙の流れ)

(b) 火災規模毎の発熱速度

- (a) で定義した火災規模毎に想定する発熱速度を以下のとおり設定する。
- ・火災規模「大」：C/V内において最大規模の火災源を想定する。具体的には、既許認可の実績として、大飯3,4号機の再稼働審査のまとめ資料で用いている「原子力発電所の内部火災影響評価ガイド」の「表8.1 火災源のスクリーニング用発熱速度（HRR）」のうち、電気盤1面火災相当の211kWを適用し、熱流動により対流が生じる場合を想定する。
 - ・火災規模「中」：C/V内における中規模の火災源として、「原子力発電所の内部火災影響評価ガイド」の「表8.1 火災源のスクリーニング用発熱速度（HRR）」のうち、最小値であるモータ1台相当の69kWを適用し、熱流動が起こらず煙が格納容器頂部に溜まっていく場合を想定する。
 - ・火災規模「小」：「原子力発電所の内部火災影響評価ガイド」に基づく発熱速度の設定がないことから、火災規模「大」及び「中」と比較して、より小さい発熱速度を想定する。

(c) 小括

各給気ファン及び再循環ファン停止時における原子炉格納容器内オペレーティングフロアで発生する火災の規模を大・中・小の3段階に分けて整理した。この整理を踏まえ、次項以降で火災感知器の感知性について確認する。また、念のため原子炉格納容器の健全性について解析結果を考慮し確認する。

枠囲みの範囲は機密に係る事項ですので公開することはできません。

b. 火災感知器の感知性

原子炉格納容器内オペレーティングフロアに設置する煙感知器の感知性について、定義した火災規模毎に確認する。

(a) 火災規模「大」

火災規模「大」の場合、発熱量が大きく、その熱による上昇気流に乗ってC/V頂部まで上昇した煙が、コンクリート壁に接触することで冷却され、周囲の空気との密度差により生じる自然対流により下降に転じるといった煙の流れが継続する。このような煙の流路となる場所に火災感知器を設置することで火災を感知可能である。

(b) 火災規模「中」

火災規模「中」の場合、発熱量が中程度であり、その熱による上昇気流に乗ってC/V頂部まで上昇した煙が下降せず、C/V頂部に溜まり続ける。このような火災が継続した場合、煙はC/V頂部に溜まっていき、煙層が厚くなっていくことから、時間の経過とともに感知可能である。

(c) 火災規模「小」

火災規模「小」の場合、発熱量が小さく、熱気流に乗って煙が上昇する過程で、周囲の空気に熱を奪われC/V頂部に到達する前に上昇力を失い、水平方向に拡散する流れの方が優位となる。このような火災が継続した場合、煙はオペレーティングフロアの床面付近で広がることから、オペレーティングフロア上の感知器にて感知可能である。

(d) 小括

原子炉格納容器内オペレーティングフロアに設置する煙感知器により、火災規模「大」「中」「小」いずれの火災についても感知可能であり、もれなく確実に火災を感知できる設計となっていることを確認した。

c. 原子炉格納容器の健全性

火災発生時の原子炉格納容器の健全性について以下のとおり確認する。

(a) 解析条件

火災発生時の原子炉格納容器の健全性を確認するために、火災規模「大」を用いて温度評価を実施した。

①FDTsを用いた原子炉格納容器頂部の温度評価

原子炉格納容器内オペレーティングフロアにおける火災時の原子炉格納容器頂部の温度を評価するため、米国NRCが公開している評価ツールであるFDTsを用いて評価した。空間体積には、原子炉格納容器オペレーティングフロアより上部相当の体積を設定し、保守的な火源の条件設定として、最も発熱量の大きい火災規模「大」の火源を用いて換気のない条件下で温度評価を実施した。

(b) 原子炉格納容器の温度制限値

設計基準において発生する火災により、発電用原子炉施設の安全性が損なわれないようにするため、設計基準対象施設に対して必要な機能を有することが求められている。設計基準事故時の原子炉格納容器の最高使用温度が 144°Cであることを踏まえ、火災発生時の原子炉格納容器頂部の温度制限値を 144°Cと設定する。

なお、温度制限値の妥当性について以下に示す。

原子炉格納容器バウンダリとして、原子炉格納容器頂部にはライナ部及びコンクリート部があることから、これらへの熱影響について評価を行う。

ライナ部及びコンクリート部については、設計基準事故時の条件において変形が弾性域に収まっていることを確認している。また、クリープ現象については、融点の半分程度以上の高温で長時間かけて生じるものであるが、評価対象の鋼材はいずれも炭素鋼であり、一般的な炭素鋼の融点は 1000°C以上であることから、クリープ現象を考慮する必要はない。

さらに、コンクリート本体については、日本機械学会「発電用原子力設備規格コンクリート製原子炉格納容器規格 2003 年版 (JSME S NE1-2003)」において、コンクリートの物性への影響を踏まえた温度制限値が定められており、非定常状態(24 時間未満の短時間継続する状態)では 175°Cとされているが、今回設定した温度制限値である 144°Cの方が温度制限値として保守的な値である。

以上より火災発生時の原子炉格納容器頂部の温度制限値を 144°Cと設定することは妥当である。

(c) 解析結果を踏まえた原子炉格納容器の健全性評価

原子炉格納容器内オペレーティングフロアにおける火災時の原子炉格納容器頂部の温度を評価するため、米国 NRC が公開している評価ツールである FDTs を用いて評価した結果、最も発熱量の大きい火災規模「大」の火源を用いた場合、原子炉格納容器頂部の高温ガス層温度は火災発生から 1 時間で 75.7°C 程度となった。評価ツールを用いた火災規模「大」の評価結果を別紙 1・1 に示す。

火災発生時の原子炉格納容器頂部の温度が、原子炉格納容器頂部の温度制限値を超過しないことから、原子炉格納容器バウンダリの健全性が維持されることを確認した。

なお、感知までに最も時間を要する火災規模「中」の火源を用いた場合は、煙層は格納容器頂部より 30m 程度下 (E.L [] 相当) に火災発生から 10 分程度で到達するため、健全性評価については火災規模「大」の結果に包絡される。評価ツールを用いた火災規模「中」の評価結果を別紙 1・2 に示す。

(d) 小括

火災規模「大」の火源を用い、換気のない条件を想定しても、原子炉格納容器頂部の温度は温度制限値である 144°C を超過せず、原子炉格納容器バウンダリの健全性が維持されることを確認した。

d. 大括

各給気ファン及び再循環ファン停止時における原子炉格納容器内オペレーティングフロアの空気の流れを踏まえ、火災の規模を煙の現象論に基づき大・中・小に分けて確認した結果、いずれの火災についても原子炉格納容器内オペレーティングフロアに設置する煙感知器により感知可能であり、もなく確実に火災を感知できる設計となっていることを確認した。

また、原子炉格納容器頂部の温度は、設計基準事故時の原子炉格納容器の最高使用温度を基に設定した温度制限値である 144°C を超過しないことから、原子炉格納容器バウンダリの健全性は維持されることを確認した。

枠囲みの範囲は機密に係る事項ですので公開することはできません。

二. 火災感知器の設置場所について

a. 煙感知器の感知性能及び網羅性に係る比較検討

原子炉格納容器オペレーティングフロアの感知器設計のうち、火災により発生した煙の流路、並びに、隣接する火災区画に煙が流出する可能性がある開口部より高い場所に設置する設計としているアナログ式の煙感知器について、ハ. で評価及び解析した原子炉格納容器頂部の温度及び火災発生時の空気の流れを踏まえ、その設置場所について検討した。また、空気吸引式の煙感知器及び光電分離式の煙感知器についても同様に検討した。

検討にあたって、原子炉格納容器内オペレーティングフロアにおける煙感知器設置場所について、煙感知器の感知性能及び網羅性の観点で比較検討を実施した。検討結果を第3-2-4表に示す。

第3-2-4表 煙感知器の感知性能及び網羅性に係る比較検討結果

| | | 凡例 ○：もれなく確実に感知可能、×：感知不可 | | | | | |
|----------------------|--|-------------------------|-----------------|-----------------|-----------------|-----------------|-----------------|
| 設置場所 及び 最大設置高さ | 感知区画 10-2 のグレ ーチング面 上部に煙感 知器（スパ ット型）を 設置 | 案1 | 案2 | 案3-1 | 案3-2 | 案3-3 | 案3-4 |
| | | E. L. [] 程度 | E. L. [] 程度 | E. L. [] 程度 | E. L. [] 程度 | E. L. [] 程度 | E. L. [] 程度 |
| 火災規模 | 小※1 | ○ | ○ | ○ | ○ | ○ | ○ |
| | 中 | ○ | ○ | ○ | ○ | ○ | ○ |
| | 大 | ○ | ○ | ○ | ○ | ○ | ○ |

※1：案1～案3のいずれにおいても、火災規模「小」の感知は原子炉格納容器内オペレーティングフロア下層（感知区画8-1, 8-2, 8-3, 9-1, 9-2, 10-1）の煙感知器に期待しており、感知性能及び網羅性に差異はない。

検討の結果、上記の案において、いずれの場所に煙感知器を設置しても、感知性能及び網羅性に問題ないと評価できる。

b. 煙感知器の設置に係る比較検討

案1、案2及び案3のいずれの場所に煙感知器を設置しても、感知性能及び網羅性に問題がないことを確認したため、次にそれぞれの案について、感知器設置の成立性、

枠囲みの範囲は機密に係る事項ですので公開することはできません。

保守点検（定期点検及び定期取替）の成立性、偶発的な故障の対応及び耐震性の確保の観点他考慮事項を踏まえ、総合的評価を行い、その結果を第3-2-5表に示す。

第3-2-5表 煙感知器の設置に係る比較検討結果

凡例 ○：成立性に問題なし、×：成立性に問題あり

| 設置場所 及び 最大設置高さ | 案1 | 案2 | 案3-1 | 案3-2 | 案3-3 | 案3-4 |
|----------------------|--|---|----------------------------------|---|----------------------------------|----------------------------------|
| | 感知区画10-2のグレーチング上面部に煙感知器（スポット型）を設置 | ポーラクレン付近で人が寄り付き、感知器の設置及び保守点検が可能なCV壁面に煙感知器（スポット型）を設置 | CVトップトッップドーム部に煙感知器（スポット型）を設置 | CVトップトッップドーム部の火災を必要な期間、感知できるように煙感知器（スポット型）を仮設 | CVトップドーム部に空気吸引式の煙感知器を設置 | CVトップドーム部に光電分離式の煙感知器を設置 |
| 検討項目 | E.L. [] 程度 | E.L. [] 程度 | E.L. [] 程度 | E.L. [] 程度 | E.L. [] 程度 | E.L. [] 程度 |
| 設置の成立性 | ○ | ○ | ○ | ○ | ○ | ○ |
| 保守点検の成立性 | 定期点検※1 ○ 直接目視点検可 遠隔試験可 | 定期取替※2 ○ | 直接目視点検可 遠隔試験可 ○ | 双眼鏡で点検可 遠隔試験可 ○ | 外観点検・作動試験後に仮設 ○ | 双眼鏡で点検可 現地試験可 ○ |
| 偶発的な故障の対応 | ○ | ○ | ○ | ○ | ○ | ○ |
| 耐震性の確保 | ○ | ○ | ○ | × | ○ | ○ |
| 評価 | 懸念事項なし | 労働安全確保の観点から、保守点検作業時に足場設置が必要であり、1週間程度要する | 保守点検作業時に足場設置が必要であり、長期間（30日以上）要する | 地震時の波及的影響の懸念あり | 保守点検作業時に足場設置が必要であり、長期間（30日以上）要する | 保守点検作業時に足場設置が必要であり、長期間（30日以上）要する |
| 総合評価 | いずれの案でも感知性及び原子炉格納容器バウンダリの健全性に問題がないことから、最も懸念の少ない案1が最適と判断する。 | | | | | |

※1：消防法に基づき、定期的な点検（外観点検、作動試験）が必要である。

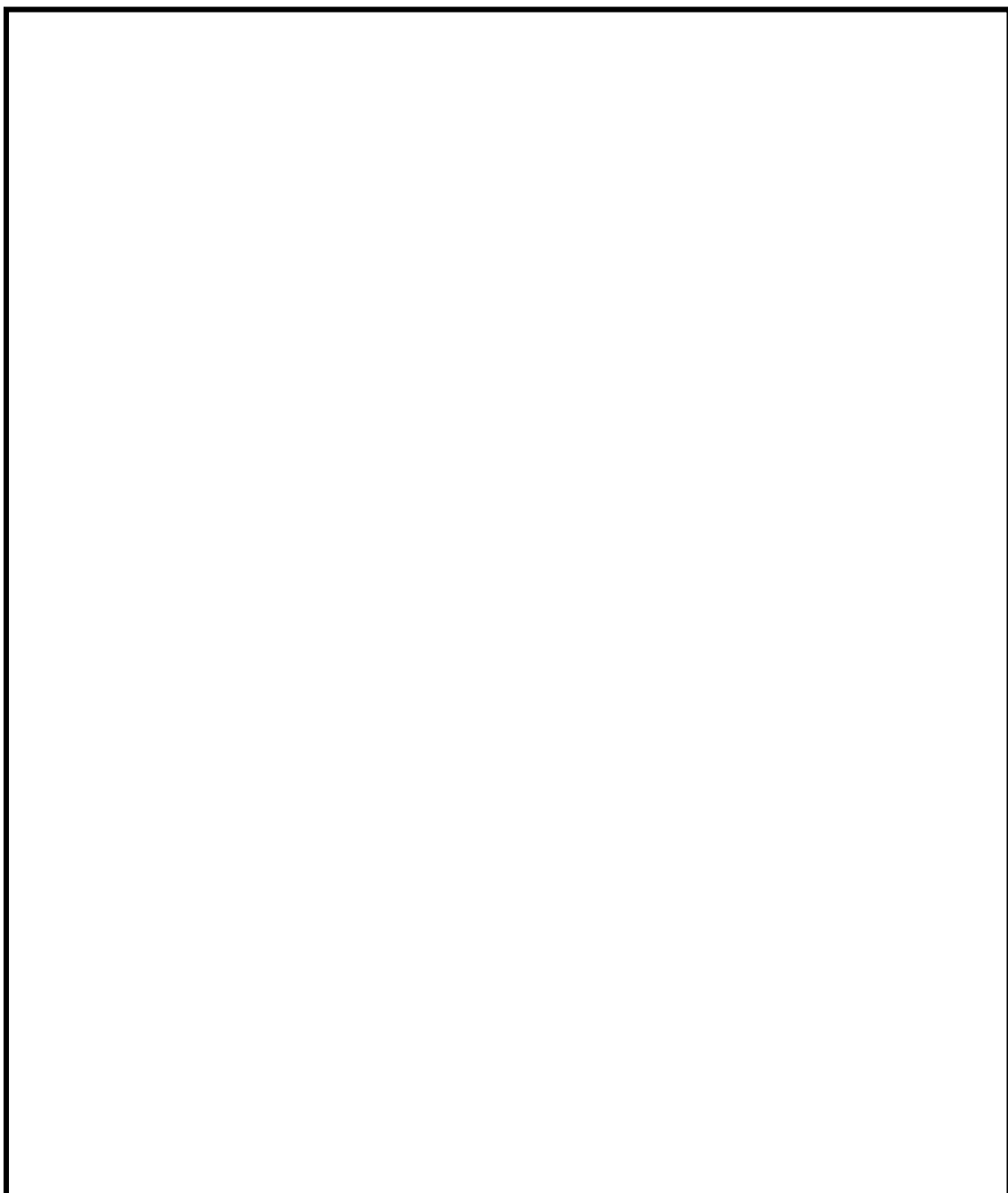
※2：感知器は一般産業品のため、劣化による故障を想定し、定期取替の実施が必要である。

上記の検討結果より、案1を煙感知器の最適な設置場所と判断し、感知区画10-2のグレーチング上面部に煙感知器（スポット型）を設置する設計とする。

案1において期待する煙感知器及び原子炉格納容器の感知器設計概要について、第3-2-12図に示す。また、参考として、案2において期待する煙感知器について、第

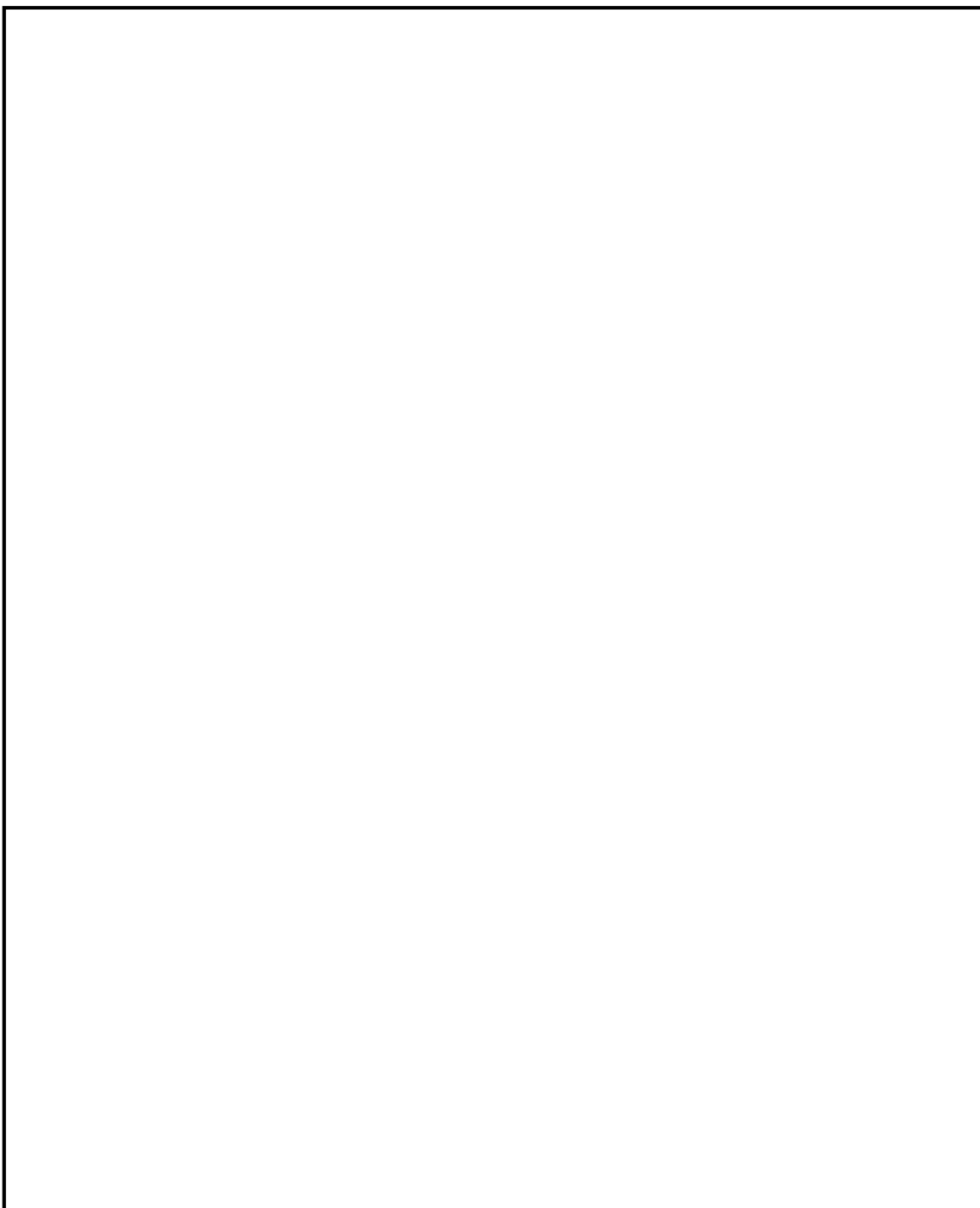
枠囲みの範囲は機密に係る事項ですので公開することはできません。

3-2-13図に示す。



第3-2-12図 案1で期待する煙感知器及び原子炉格納容器の感知器設計概要

枠囲みの範囲は機密に係る事項ですので公開することはできません。



第3・2・13図 案2で期待する煙感知器

枠囲みの範囲は機密に係る事項ですので公開することはできません。

ホ. 設計目標を満足できる理屈

原子炉格納容器内のオペレーティングフロアを含む火災区画には、原子炉の安全停止に必要な機器等、放射性物質を貯蔵する機器等及び重大事故等対処施設が設置されているが、原子炉の安全停止に必要な機器等は、原子炉格納容器内において既許可から変更のない離隔距離 6m 以上の確保による系統分離が実施されており、また、原子炉格納容器内の動的機器がすべて火災の影響により運転停止し、かつ、原子炉格納容器内の弁の遠隔操作ができなくなることを仮定しても、運転員の操作により原子炉の安全停止が可能である。放射性物質を貯蔵する機器等は、原子炉格納容器内で火災が発生し、広範囲な火災又は原子炉格納容器内に進入できないと判断した場合には、保安規定に定められた手順に基づき、プラントを停止するとともに原子炉格納容器スプレイ設備を使用した消火を行う運用としていることから、放射性物質が漏えいした場合でも、放射性物質の閉じ込め機能をもつ原子炉格納容器により管理区域外への放射性物質の放出を防止することが可能である。また、重大事故等対処施設は、原子炉の安全停止に必要な機器等と兼用する設備については、既許可から変更のない離隔距離 6m 以上の確保による系統分離対策が実施されており、また、原子炉格納容器内の動的機器がすべて火災の影響により運転停止し、かつ、原子炉格納容器内の弁の遠隔操作ができなくなることを仮定しても、運転員の操作により原子炉の安全停止が可能であることを踏まえ、原子炉格納容器内で火災が発生し、広範囲な火災又は格納容器内に進入できないと判断した場合には、保安規定に定められた手順に基づき、プラントを停止するとともに原子炉格納容器スプレイ設備を使用した消火を行う運用としていること、並びに設置許可基準規則第 37 条第 4 項に規定されている運転停止中原子炉内の燃料損傷防止に必要な重大事故等対処設備については、同様の機能を有する設備（計装設備においては他チャンネル又は代替パラメータ）が既許可に準じて各設備間で離隔距離が 6m 以上確保されているか、又は、1 時間耐火能力を有する隔壁等で分離されており、同一火災区画内において原子炉の安全停止に必要な機器等の系統分離対策に支障を及ぼすことなく、重大事故等の対処に必要な機能が確保できることを確認している。

上記を踏まえ、当該エリアで発生した火災を同一火災区画内に設置する感知器でもれなく確実に感知することにより、既工認から設計に変更のない初期消火活動に繋げ、同一火災区画内に火災の影響を限定することで、同一火災区画外の設計基準対象施設の安全性及び重大事故等対処施設の重大事故等に対処するために必要な機能が火災により損なわれないようにするとともに、同一火災区画内において設計基準対象施設の安全性及び重大事故等対処施設の重大事故等に対処するために必要な機能が火災により損なわれないようにすることができるため、設計目標②を満足すると評価する。なお、設計目標②を満足するために必須ではないが、発火源となり得る

設備の直上にアナログ式の熱感知器を設置する設計については、オペレーティングフロアで発生する火災をより早期に感知する効果が期待できる。

3-2-4 火災による消火設備への影響について

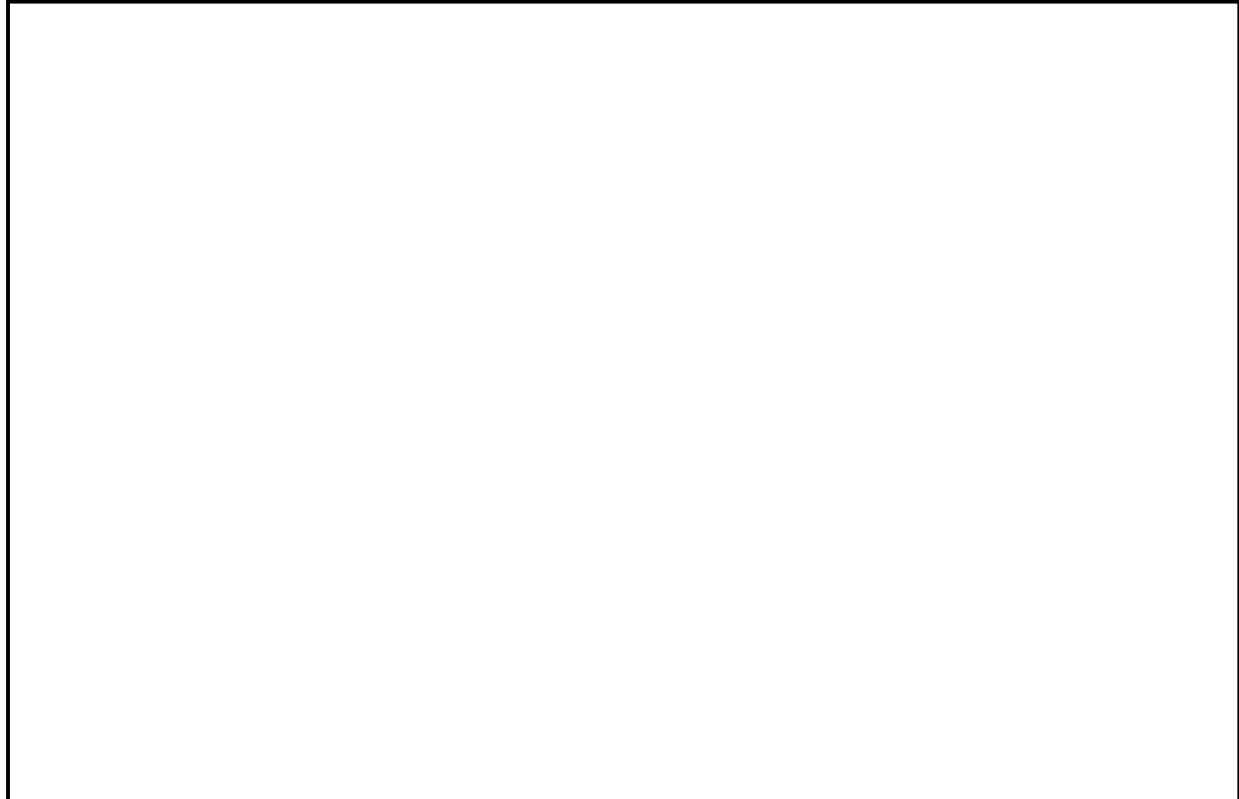
原子炉格納容器内で火災が発生した場合に消火設備として使用する原子炉格納容器スプレイ設備への影響を以下に示す。

(1) 原子炉格納容器スプレイ設備

原子炉格納容器スプレイ設備の系統図を第3-2-14図に示す。

原子炉格納容器スプレイ設備を構成する設備のうち、主要な設備である格納容器スプレイポンプ及びモータ、格納容器スプレイ冷却器、よう素除去薬品タンク及び燃料取替用水ピットは格納容器外に設置されている。このことから、(1)で確認したとおり、格納容器内で発生した火災の影響を火災区画内に限定することができており、格納容器外に設置しているこれらの機器が火災による影響を受けることはない。

原子炉格納容器スプレイ設備を構成する設備のうち、原子炉格納容器内には頂部にスプレイヘッダが設置されているが、金属製のスプレイリング、スプレイノズル及び逆止弁により構成されていることから、火災により発生する煙及び熱の影響は受けることはない。



第3-2-14図 系統図（原子炉格納容器スプレイ系統）

枠囲みの範囲は機密に係る事項ですので公開することはできません。



CHAPTER 2. PREDICTING HOT GAS LAYER TEMPERATURE AND SMOKE LAYER HEIGHT IN A ROOM FIRE WITH NATURAL VENTILATION

別紙 1 — 1

Version 1805.1
(SI Units)

COMPARTMENT WITH THERMALLY THICK/THIN BOUNDARIES

The following calculations estimate the hot gas layer temperature and smoke layer height in enclosure fire.

Parameters in **YELLOW CELLS** are Entered by the User.

Parameters in **GREEN CELLS** are Automatically Selected from the DROP DOWN MENU for the Material Selected.

All subsequent output values are calculated by the spreadsheet and based on values specified in the input parameters. This spreadsheet is protected and secure to avoid errors due to a wrong entry in a cell(s). The chapter in the NUREG should be read before an analysis is made.

Project / Inspection
Title:

大飯3号機CV内 電気盤1面火災(垂直キャビネット:HRR211kW)

INPUT PARAMETERS

COMPARTMENT INFORMATION

| | | |
|--|-------|----|
| Compartment Width (w_c) | 29.80 | m |
| Compartment Length (l_c) | 29.80 | m |
| Compartment Height (h_c) | 40.00 | m |
| | | |
| Vent Width (w_v) | 0.60 | m |
| Vent Height (h_v) | 2.00 | m |
| Top of Vent from Floor (V_T) | 2.00 | m |
| Interior Lining Thickness (δ) | 15.00 | cm |

AMBIENT CONDITIONS

| | | |
|-----------------------------------|-------|-------------------|
| Ambient Air Temperature (T_a) | 40.00 | °C |
| Specific Heat of Air (c_a) | 1.00 | kJ/kg-K |
| Ambient Air Density (ρ_a) | 1.13 | kg/m ³ |

Note: Ambient Air Density (ρ_a) will automatically correct with Ambient Air Temperature (T_a) Input

THERMAL PROPERTIES OF COMPARTMENT ENCLOSING SURFACES FOR

| | | |
|--|--------|--|
| Interior Lining Thermal Inertia (kpc) | 2.9 | (kW/m ² -K) ² -sec |
| Interior Lining Thermal Conductivity (k) | 0.0016 | kW/m-K |
| Interior Lining Specific Heat (c_p) | 0.75 | kJ/kg-K |
| Interior Lining Density (ρ) | 2400 | kg/m ³ |



CHAPTER 2. PREDICTING HOT GAS LAYER TEMPERATURE AND SMOKE LAYER HEIGHT IN A ROOM FIRE WITH NATURAL VENTILATION

Version 1805.1
(SI Units)

THERMAL PROPERTIES FOR COMMON INTERIOR LINING MATERIALS

| Material | kpc | k | c | ρ | Select Material |
|------------------------|--|-------------|-------------|----------------------|----------------------------|
| | (kW/m ² -K) ² -sec | (kW/m-K) | (kJ/kg-K) | (kg/m ³) | Concrete |
| Aluminum (pure) | 500 | 0.206 | 0.895 | 2710 | Scroll to desired material |
| Steel (0.5% Carbon) | 197 | 0.054 | 0.465 | 7850 | Click the selection |
| Concrete | 2.9 | 0.0016 | 0.75 | 2400 | |
| Brick | 1.7 | 0.0008 | 0.8 | 2600 | |
| Glass, Plate | 1.6 | 0.00076 | 0.8 | 2710 | |
| Brick/Concrete Block | 1.2 | 0.00073 | 0.84 | 1900 | |
| Gypsum Board | 0.18 | 0.00017 | 1.1 | 960 | |
| Plywood | 0.16 | 0.00012 | 2.5 | 540 | |
| Fiber Insulation Board | 0.16 | 0.00053 | 1.25 | 240 | |
| Chipboard | 0.15 | 0.00015 | 1.25 | 800 | |
| Aerated Concrete | 0.12 | 0.00026 | 0.96 | 500 | |
| Plasterboard | 0.12 | 0.00016 | 0.84 | 950 | |
| Calcium Silicate Board | 0.098 | 0.00013 | 1.12 | 700 | |
| Alumina Silicate Block | 0.036 | 0.00014 | 1 | 260 | |
| Glass Fiber Insulation | 0.0018 | 0.000037 | 0.8 | 60 | |
| Expanded Polystyrene | 0.001 | 0.000034 | 1.5 | 20 | |
| User Specified Value | Enter Value | Enter Value | Enter Value | Enter Value | |

Reference: Klotz, J., J. Milke, *Principles of Smoke Management*, 2002, Page 270.

FIRE SPECIFICATIONS

Fire Heat Release Rate (Q)

211.00 kW

Calculate



CHAPTER 2. PREDICTING HOT GAS LAYER TEMPERATURE AND SMOKE LAYER HEIGHT IN A ROOM FIRE WITH NATURAL VENTILATION

Version 1805.1
(SI Units)

METHOD OF McCAFFREY, QUINTIERE, AND HARKLEROAD (MQH)

Reference: SFPE Handbook of Fire Protection Engineering, 3rd Edition, 2002, Page 3-175.

$$\Delta T_g = 6.85 [Q^2 / ((A_v(h_v)^{1/2}) (A_T h_k))]^{1/3}$$

Where,

$\Delta T_g = T_g - T_a$ = upper layer gas temperature rise above ambient (K)

Q = heat release rate of the fire (kW)

A_v = area of ventilation opening (m^2)

h_v = height of ventilation opening (m)

h_k = convective heat transfer coefficient ($kW/m^2\text{-}K$)

A_T = total area of the compartment enclosing surface

boundaries excluding area of vent openings (m^2)

Area of Ventilation Opening Calculation

$$A_v = (w_v) (h_v)$$

Where,

A_v = area of ventilation

opening (m^2)

w_v = vent width (m)

h_v = vent height (m)

$$A_v = \quad 1.20 \quad m^2$$

Thermal Penetration Time Calculation

$$t_p = (\rho c_p/k) (\delta/2)^2$$

Where,

t_p = thermal penetration time (sec)

ρ = interior lining density (kg/m^3)

c_p = interior lining specific heat ($kJ/kg\text{-}K$)

k = interior lining thermal conductivity ($kW/m\text{-}K$)

δ = interior lining thickness (m)

$$t_p = \quad 6328.13 \quad sec$$



CHAPTER 2. PREDICTING HOT GAS LAYER TEMPERATURE AND SMOKE LAYER HEIGHT IN A ROOM FIRE WITH NATURAL VENTILATION

Version 1805.1
(SI Units)

Heat Transfer Coefficient Calculation

$$h_k = \sqrt{(k\rho c/t)} \text{ for } t < t_p \quad \text{or} \quad (k/\delta) \text{ for } t > t_p$$

Where,

h_k = heat transfer

coefficient ($\text{kW}/\text{m}^2\cdot\text{K}$)

$k\rho c$ = interior construction thermal inertia ($\text{kW}/\text{m}^2\cdot\text{K}$) $^2\cdot\text{sec}$
(a thermal property of material responsible for the rate of temperature rise)

t = time after ignition
(sec)

See table below for results (column 3)

Area of Compartment Enclosing Surface Boundaries

$$A_T = [2(w_c \times l_c) + 2(h_c \times w_c) + 2(h_c \times l_c)] - A_v$$

Where,

A_T = total area of the compartment enclosing surface boundaries excluding area of vent openings (m^2)

w_c = compartment width (m)

l_c = compartment length (m)

h_c = compartment height (m)

A_v = area of ventilation opening (m^2)

$$A_T = 6542.88 \text{ m}^2$$



CHAPTER 2. PREDICTING HOT GAS LAYER TEMPERATURE
AND SMOKE LAYER HEIGHT IN A ROOM FIRE
WITH NATURAL VENTILATION

Version 1805.1
(SI Units)

COMPARTMENT HOT GAS LAYER TEMPERATURE WITH NATURAL

$$\Delta T_g = 6.85 [Q^2 / ((A_v(h_v)^{1/2}) (A_T h_k))]^{1/3}$$

$$\Delta T_g = T_g - T_a$$

$$T_g = \Delta T_g + T_a$$

| Results | Time After Ignition (t) | | h_k (kW/m ² -K) | ΔT_g (°K) | T_g (°K) | T_g (°C) | T_g (°F) |
|---------|-------------------------|-------|---------------------------------|----------------------|---------------|---------------|---------------|
| | (min) | (sec) | | | | | |
| 0 | 0.00 | | - | - | 313.00 | 40.00 | 104.00 |
| 1 | 60 | | 0.22 | 18.03 | 331.03 | 58.03 | 136.46 |
| 2 | 120 | | 0.16 | 20.24 | 333.24 | 60.24 | 140.43 |
| 3 | 180 | | 0.13 | 21.65 | 334.65 | 61.65 | 142.98 |
| 4 | 240 | | 0.11 | 22.72 | 335.72 | 62.72 | 144.89 |
| 5 | 300 | | 0.10 | 23.58 | 336.58 | 63.58 | 146.44 |
| 10 | 600 | | 0.07 | 26.47 | 339.47 | 66.47 | 151.64 |
| 15 | 900 | | 0.06 | 28.32 | 341.32 | 68.32 | 154.97 |
| 20 | 1200 | | 0.05 | 29.71 | 342.71 | 69.71 | 157.47 |
| 25 | 1500 | | 0.04 | 30.83 | 343.83 | 70.83 | 159.50 |
| 30 | 1800 | | 0.04 | 31.78 | 344.78 | 71.78 | 161.21 |
| 35 | 2100 | | 0.04 | 32.61 | 345.61 | 72.61 | 162.70 |
| 40 | 2400 | | 0.03 | 33.34 | 346.34 | 73.34 | 164.02 |
| 45 | 2700 | | 0.03 | 34.01 | 347.01 | 74.01 | 165.21 |
| 50 | 3000 | | 0.03 | 34.61 | 347.61 | 74.61 | 166.29 |
| 55 | 3300 | | 0.03 | 35.16 | 348.16 | 75.16 | 167.29 |
| 60 | 3600 | | 0.03 | 35.68 | 348.68 | 75.68 | 168.22 |



CHAPTER 2. PREDICTING HOT GAS LAYER TEMPERATURE AND SMOKE LAYER HEIGHT IN A ROOM FIRE WITH NATURAL VENTILATION

Version 1805.1
(SI Units)

ESTIMATING SMOKE LAYER HEIGHT METHOD OF YAMANA AND TANAKA

$$z = ((2kQ^{1/3}t/(3A_c)) + (1/h_c^{2/3}))^{-3/2}$$

Where,

- z = smoke layer height (m)
- Q = heat release rate of the fire (kW)
- t = time after ignition (sec)
- h_c = compartment height (m)
- A_c = compartment floor area (m^2)
- k = k = a constant given by $k = 0.076/\rho_g$
- ρ_g = hot gas layer density (kg/m^3)
- ρ_g is given by $\rho_g = 353/T_g$
- T_g = hot gas layer temperature (K)

Compartment Area Calculation

$$A_c = (w_c) (l_c)$$

Where,

- A_c = compartment floor area (m^2)
- w_c = compartment width (m)
- l_c = compartment length (m)

$$A_c = \quad \quad \quad 888.04 \quad \quad \quad m^2$$

Hot Gas Layer Density Calculation

$$\rho_g = 353/T_g$$

Calculation for Constant k

$$k = 0.076/\rho_g$$



CHAPTER 2. PREDICTING HOT GAS LAYER TEMPERATURE AND SMOKE LAYER HEIGHT IN A ROOM FIRE WITH NATURAL VENTILATION

Version 1805.1
(SI Units)

SMOKE GAS LAYER HEIGHT WITH NATURAL VENTILATION

$$z = [(2kQ^{1/3}t/(3A_c)] + (1/h_c)^{2/3})^{-3/2}$$

Results

Caution! The smoke layer height is a conservative estimate and is only intended to provide an indication where the hot gas layer is located. Calculated smoke layer height below the vent height are not creditable since the calculation is not accounting for the smoke exiting the vent.

| Time (min) | ρ_g (kg/m ³) | Constant (k) (kW/m-K) | Smoke Layer Height z (m) | Smoke Layer Height z (ft) |
|---------------|----------------------------------|--------------------------|-------------------------------|-----------------------------------|
| 0 | 1.13 | 0.067 | 40.00 | 131.23 |
| 1 | 1.07 | 0.071 | 29.56 | 96.97 |
| 2 | 1.06 | 0.072 | 22.91 | 75.16 |
| 3 | 1.05 | 0.072 | 18.40 | 60.38 |
| 4 | 1.05 | 0.072 | 15.19 | 49.84 |
| 5 | 1.05 | 0.072 | 12.81 | 42.03 |
| 10 | 1.04 | 0.073 | 6.70 | 21.97 |
| 15 | 1.03 | 0.073 | 4.25 | 13.95 |
| 20 | 1.03 | 0.074 | 3.00 | 9.83 |
| 25 | 1.03 | 0.074 | 2.25 | 7.39 |
| 30 | 1.02 | 0.074 | 2.00 | 6.56 |
| 35 | 1.02 | 0.074 | 2.00 | 6.56 |
| 40 | 1.02 | 0.075 | 2.00 | 6.56 |
| 45 | 1.02 | 0.075 | 2.00 | 6.56 |
| 50 | 1.02 | 0.075 | 2.00 | 6.56 |
| 55 | 1.01 | 0.075 | 2.00 | 6.56 |
| 60 | 1.01 | 0.075 | 2.00 | 6.56 |

CAUTION: SMOKE IS EXITING OUT VENT
CAUTION: SMOKE IS EXITING OUT VENT

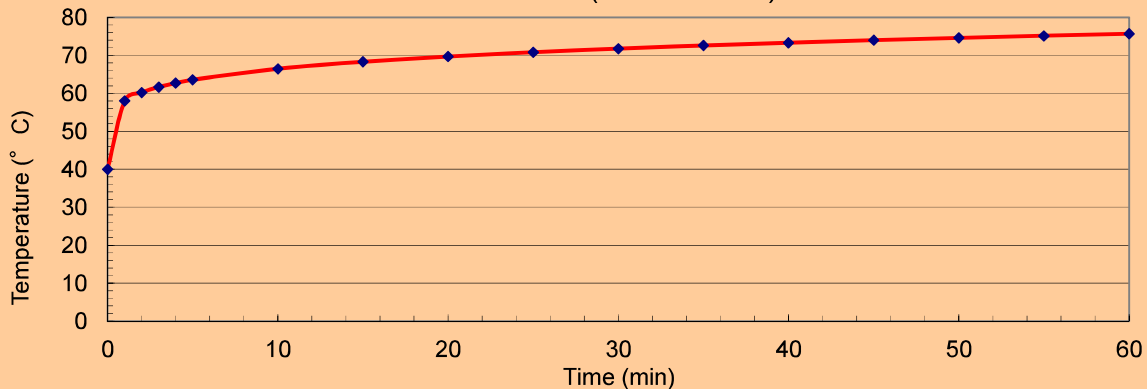


CHAPTER 2. PREDICTING HOT GAS LAYER TEMPERATURE AND SMOKE LAYER HEIGHT IN A ROOM FIRE WITH NATURAL VENTILATION

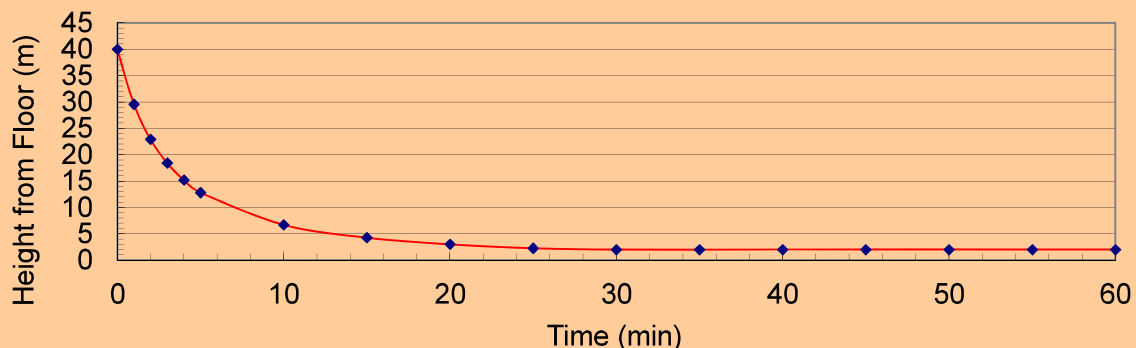
Version 1805.1
(SI Units)

Summary of Results

Hot Gas Layer Temperature
Natural Ventilation (MQH Method)



Smoke Layer Height
Natural Ventilation (Method of Yamana and Tanaka)



NOTE:

The above calculations are based on principles developed in the SFPE Handbook of Fire Protection Engineering, 3rd Edition, 2002. Calculations are based on certain assumptions and have inherent limitations. The results of such calculations may or may not have reasonable predictive capabilities for a given situation and should only be interpreted by an informed user. Although each calculation in the spreadsheet has been verified with the results of hand calculation, there is no absolute guarantee of the accuracy of these calculations. Any questions, comments, concerns, and suggestions, or to report an error(s) in the spreadsheet, please send an email to David.Stroup@nrc.gov or Naeem.Iqbal@nrc.gov.

Prepared by: _____

Date: _____

Organization: _____

Checked by: _____

Date: _____

Organization: _____

Additional Information: _____



CHAPTER 2. PREDICTING HOT GAS LAYER TEMPERATURE AND SMOKE LAYER HEIGHT IN A ROOM FIRE WITH NATURAL VENTILATION

別紙 1 — 2

Version 1805.1
(SI Units)

COMPARTMENT WITH THERMALLY THICK/THIN BOUNDARIES

The following calculations estimate the hot gas layer temperature and smoke layer height in enclosure fire.

Parameters in **YELLOW CELLS** are Entered by the User.

Parameters in **GREEN CELLS** are Automatically Selected from the DROP DOWN MENU for the Material Selected.

All subsequent output values are calculated by the spreadsheet and based on values specified in the input parameters. This spreadsheet is protected and secure to avoid errors due to a wrong entry in a cell(s). The chapter in the NUREG should be read before an analysis is made.

Project / Inspection
Title:

大飯3号機CV内 モータ1台火災(モータ:HRR69kW)

INPUT PARAMETERS

COMPARTMENT INFORMATION

| | | |
|--|-------|----|
| Compartment Width (w_c) | 29.80 | m |
| Compartment Length (l_c) | 29.80 | m |
| Compartment Height (h_c) | 40.00 | m |
| | | |
| Vent Width (w_v) | 0.60 | m |
| Vent Height (h_v) | 2.00 | m |
| Top of Vent from Floor (V_T) | 2.00 | m |
| Interior Lining Thickness (δ) | 15.00 | cm |

AMBIENT CONDITIONS

| | | |
|-----------------------------------|-------|-------------------|
| Ambient Air Temperature (T_a) | 40.00 | °C |
| Specific Heat of Air (c_a) | 1.00 | kJ/kg-K |
| Ambient Air Density (ρ_a) | 1.13 | kg/m ³ |

Note: Ambient Air Density (ρ_a) will automatically correct with Ambient Air Temperature (T_a) Input

THERMAL PROPERTIES OF COMPARTMENT ENCLOSING SURFACES FOR

| | | |
|--|--------|--|
| Interior Lining Thermal Inertia (kpc) | 2.9 | (kW/m ² -K) ² -sec |
| Interior Lining Thermal Conductivity (k) | 0.0016 | kW/m-K |
| Interior Lining Specific Heat (c_p) | 0.75 | kJ/kg-K |
| Interior Lining Density (ρ) | 2400 | kg/m ³ |



CHAPTER 2. PREDICTING HOT GAS LAYER TEMPERATURE AND SMOKE LAYER HEIGHT IN A ROOM FIRE WITH NATURAL VENTILATION

Version 1805.1
(SI Units)

THERMAL PROPERTIES FOR COMMON INTERIOR LINING MATERIALS

| Material | kpc | k | c | ρ | Select Material |
|------------------------|--|-------------|-------------|----------------------|----------------------------|
| | (kW/m ² -K) ² -sec | (kW/m-K) | (kJ/kg-K) | (kg/m ³) | Concrete |
| Aluminum (pure) | 500 | 0.206 | 0.895 | 2710 | Scroll to desired material |
| Steel (0.5% Carbon) | 197 | 0.054 | 0.465 | 7850 | Click the selection |
| Concrete | 2.9 | 0.0016 | 0.75 | 2400 | |
| Brick | 1.7 | 0.0008 | 0.8 | 2600 | |
| Glass, Plate | 1.6 | 0.00076 | 0.8 | 2710 | |
| Brick/Concrete Block | 1.2 | 0.00073 | 0.84 | 1900 | |
| Gypsum Board | 0.18 | 0.00017 | 1.1 | 960 | |
| Plywood | 0.16 | 0.00012 | 2.5 | 540 | |
| Fiber Insulation Board | 0.16 | 0.00053 | 1.25 | 240 | |
| Chipboard | 0.15 | 0.00015 | 1.25 | 800 | |
| Aerated Concrete | 0.12 | 0.00026 | 0.96 | 500 | |
| Plasterboard | 0.12 | 0.00016 | 0.84 | 950 | |
| Calcium Silicate Board | 0.098 | 0.00013 | 1.12 | 700 | |
| Alumina Silicate Block | 0.036 | 0.00014 | 1 | 260 | |
| Glass Fiber Insulation | 0.0018 | 0.000037 | 0.8 | 60 | |
| Expanded Polystyrene | 0.001 | 0.000034 | 1.5 | 20 | |
| User Specified Value | Enter Value | Enter Value | Enter Value | Enter Value | |

Reference: Klotz, J., J. Milke, *Principles of Smoke Management*, 2002, Page 270.

FIRE SPECIFICATIONS

Fire Heat Release Rate (Q)

69.00 kW

Calculate



CHAPTER 2. PREDICTING HOT GAS LAYER TEMPERATURE AND SMOKE LAYER HEIGHT IN A ROOM FIRE WITH NATURAL VENTILATION

Version 1805.1
(SI Units)

METHOD OF McCAFFREY, QUINTIERE, AND HARKLEROAD (MQH)

Reference: SFPE Handbook of Fire Protection Engineering, 3rd Edition, 2002, Page 3-175.

$$\Delta T_g = 6.85 [Q^2 / ((A_v(h_v)^{1/2}) (A_T h_k))]^{1/3}$$

Where,

$\Delta T_g = T_g - T_a$ = upper layer gas temperature rise above ambient (K)

Q = heat release rate of the fire (kW)

A_v = area of ventilation opening (m^2)

h_v = height of ventilation opening (m)

h_k = convective heat transfer coefficient ($kW/m^2\text{-}K$)

A_T = total area of the compartment enclosing surface

boundaries excluding area of vent openings (m^2)

Area of Ventilation Opening Calculation

$$A_v = (w_v) (h_v)$$

Where,

A_v = area of ventilation

opening (m^2)

w_v = vent width (m)

h_v = vent height (m)

$$A_v = \quad 1.20 \quad m^2$$

Thermal Penetration Time Calculation

$$t_p = (\rho c_p/k) (\delta/2)^2$$

Where,

t_p = thermal penetration time (sec)

ρ = interior lining density (kg/m^3)

c_p = interior lining specific heat ($kJ/kg\text{-}K$)

k = interior lining thermal conductivity ($kW/m\text{-}K$)

δ = interior lining thickness (m)

$$t_p = \quad 6328.13 \quad sec$$



CHAPTER 2. PREDICTING HOT GAS LAYER TEMPERATURE AND SMOKE LAYER HEIGHT IN A ROOM FIRE WITH NATURAL VENTILATION

Version 1805.1
(SI Units)

Heat Transfer Coefficient Calculation

$$h_k = \sqrt{(k\rho c/t)} \text{ for } t < t_p \quad \text{or} \quad (k/\delta) \text{ for } t > t_p$$

Where,

h_k = heat transfer

coefficient ($\text{kW}/\text{m}^2\cdot\text{K}$)

$k\rho c$ = interior construction thermal inertia ($\text{kW}/\text{m}^2\cdot\text{K}$) $^2\cdot\text{sec}$
(a thermal property of material responsible for the rate of temperature rise)

t = time after ignition
(sec)

See table below for results (column 3)

Area of Compartment Enclosing Surface Boundaries

$$A_T = [2(w_c \times l_c) + 2(h_c \times w_c) + 2(h_c \times l_c)] - A_v$$

Where,

A_T = total area of the compartment enclosing surface boundaries excluding area of vent openings (m^2)

w_c = compartment width (m)

l_c = compartment length (m)

h_c = compartment height (m)

A_v = area of ventilation opening (m^2)

$$A_T = 6542.88 \text{ m}^2$$



CHAPTER 2. PREDICTING HOT GAS LAYER TEMPERATURE
AND SMOKE LAYER HEIGHT IN A ROOM FIRE
WITH NATURAL VENTILATION

Version 1805.1
(SI Units)

COMPARTMENT HOT GAS LAYER TEMPERATURE WITH NATURAL

$$\Delta T_g = 6.85 [Q^2 / ((A_v(h_v)^{1/2}) (A_T h_k))]^{1/3}$$

$$\Delta T_g = T_g - T_a$$

$$T_g = \Delta T_g + T_a$$

| Results | Time After Ignition (t) | | h_k (kW/m ² -K) | ΔT_g (°K) | T_g (°K) | T_g (°C) | T_g (°F) |
|---------|-------------------------|-------|---------------------------------|----------------------|---------------|---------------|---------------|
| | (min) | (sec) | | | | | |
| 0 | 0.00 | | - | - | 313.00 | 40.00 | 104.00 |
| 1 | 60 | | 0.22 | 8.56 | 321.56 | 48.56 | 119.41 |
| 2 | 120 | | 0.16 | 9.61 | 322.61 | 49.61 | 121.29 |
| 3 | 180 | | 0.13 | 10.28 | 323.28 | 50.28 | 122.50 |
| 4 | 240 | | 0.11 | 10.78 | 323.78 | 50.78 | 123.41 |
| 5 | 300 | | 0.10 | 11.19 | 324.19 | 51.19 | 124.14 |
| 10 | 600 | | 0.07 | 12.56 | 325.56 | 52.56 | 126.61 |
| 15 | 900 | | 0.06 | 13.44 | 326.44 | 53.44 | 128.19 |
| 20 | 1200 | | 0.05 | 14.10 | 327.10 | 54.10 | 129.38 |
| 25 | 1500 | | 0.04 | 14.63 | 327.63 | 54.63 | 130.34 |
| 30 | 1800 | | 0.04 | 15.09 | 328.09 | 55.09 | 131.16 |
| 35 | 2100 | | 0.04 | 15.48 | 328.48 | 55.48 | 131.86 |
| 40 | 2400 | | 0.03 | 15.83 | 328.83 | 55.83 | 132.49 |
| 45 | 2700 | | 0.03 | 16.14 | 329.14 | 56.14 | 133.05 |
| 50 | 3000 | | 0.03 | 16.43 | 329.43 | 56.43 | 133.57 |
| 55 | 3300 | | 0.03 | 16.69 | 329.69 | 56.69 | 134.04 |
| 60 | 3600 | | 0.03 | 16.93 | 329.93 | 56.93 | 134.48 |



CHAPTER 2. PREDICTING HOT GAS LAYER TEMPERATURE AND SMOKE LAYER HEIGHT IN A ROOM FIRE WITH NATURAL VENTILATION

Version 1805.1
(SI Units)

ESTIMATING SMOKE LAYER HEIGHT METHOD OF YAMANA AND TANAKA

$$z = ((2kQ^{1/3}t/(3A_c)) + (1/h_c^{2/3}))^{-3/2}$$

Where,

- z = smoke layer height (m)
- Q = heat release rate of the fire (kW)
- t = time after ignition (sec)
- h_c = compartment height (m)
- A_c = compartment floor area (m^2)
- k = k = a constant given by $k = 0.076/\rho_g$
- ρ_g = hot gas layer density (kg/m^3)
- ρ_g is given by $\rho_g = 353/T_g$
- T_g = hot gas layer temperature (K)

Compartment Area Calculation

$$A_c = (w_c)(l_c)$$

Where,

- A_c = compartment floor area (m^2)
- w_c = compartment width (m)
- l_c = compartment length (m)

$$A_c = \quad \quad \quad 888.04 \quad \quad \quad m^2$$

Hot Gas Layer Density Calculation

$$\rho_g = 353/T_g$$

Calculation for Constant k

$$k = 0.076/\rho_g$$



CHAPTER 2. PREDICTING HOT GAS LAYER TEMPERATURE AND SMOKE LAYER HEIGHT IN A ROOM FIRE WITH NATURAL VENTILATION

Version 1805.1
(SI Units)

SMOKE GAS LAYER HEIGHT WITH NATURAL VENTILATION

$$z = [(2kQ^{1/3}t/(3A_c)] + (1/h_c)^{2/3})^{-3/2}$$

Results

Caution! The smoke layer height is a conservative estimate and is only intended to provide an indication where the hot gas layer is located. Calculated smoke layer height below the vent height are not creditable since the calculation is not accounting for the smoke exiting the vent.

| Time (min) | ρ_g (kg/m ³) | Constant (k) (kW/m-K) | Smoke Layer Height z (m) | Smoke Layer Height z (ft) |
|------------|-------------------------------|-----------------------|--------------------------|---------------------------|
| 0 | 1.13 | 0.067 | 40.00 | 131.23 |
| 1 | 1.10 | 0.069 | 32.45 | 106.47 |
| 2 | 1.09 | 0.069 | 26.98 | 88.52 |
| 3 | 1.09 | 0.070 | 22.88 | 75.07 |
| 4 | 1.09 | 0.070 | 19.72 | 64.69 |
| 5 | 1.09 | 0.070 | 17.22 | 56.49 |
| 10 | 1.08 | 0.070 | 10.03 | 32.91 |
| 15 | 1.08 | 0.070 | 6.74 | 22.11 |
| 20 | 1.08 | 0.070 | 4.92 | 16.14 |
| 25 | 1.08 | 0.071 | 3.79 | 12.44 |
| 30 | 1.08 | 0.071 | 3.04 | 9.96 |
| 35 | 1.07 | 0.071 | 2.50 | 8.20 |
| 40 | 1.07 | 0.071 | 2.11 | 6.91 |
| 45 | 1.07 | 0.071 | 2.00 | 6.56 |
| 50 | 1.07 | 0.071 | 2.00 | 6.56 |
| 55 | 1.07 | 0.071 | 2.00 | 6.56 |
| 60 | 1.07 | 0.071 | 2.00 | 6.56 |

CAUTION: SMOKE IS EXITING OUT VENT
CAUTION: SMOKE IS EXITING OUT VENT
CAUTION: SMOKE IS EXITING OUT VENT
CAUTION: SMOKE IS EXITING OUT VENT

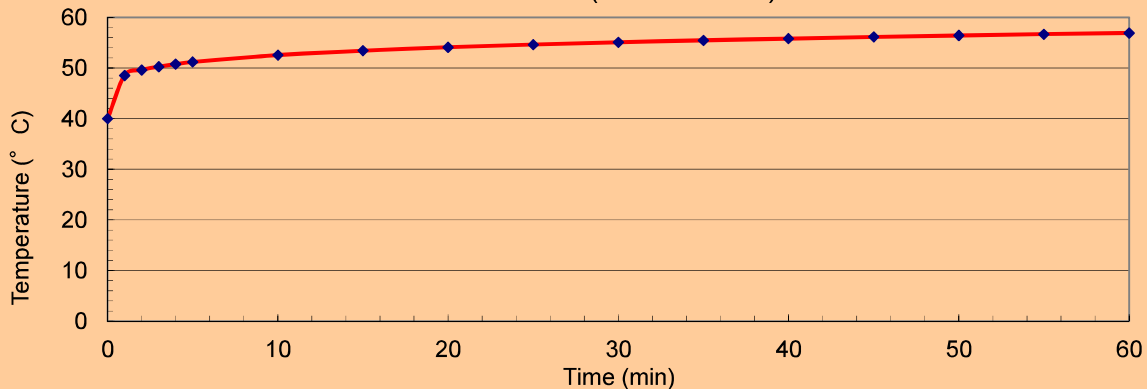


CHAPTER 2. PREDICTING HOT GAS LAYER TEMPERATURE AND SMOKE LAYER HEIGHT IN A ROOM FIRE WITH NATURAL VENTILATION

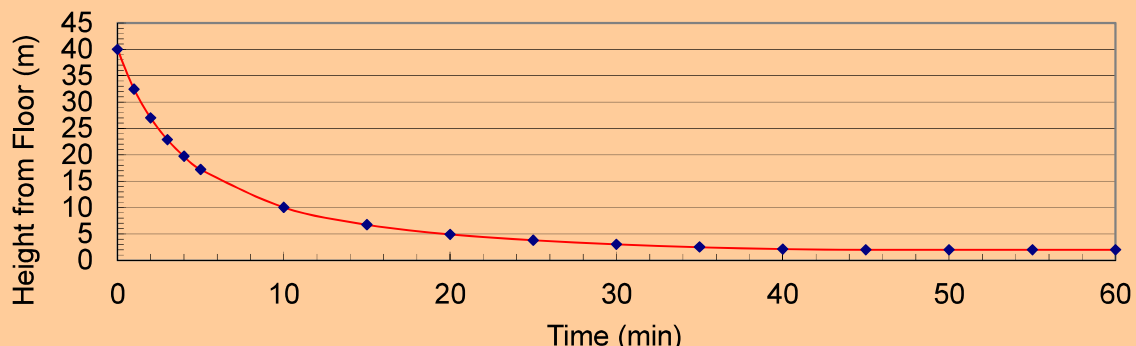
Version 1805.1
(SI Units)

Summary of Results

Hot Gas Layer Temperature
Natural Ventilation (MQH Method)



Smoke Layer Height
Natural Ventilation (Method of Yamana and Tanaka)



NOTE:

The above calculations are based on principles developed in the SFPE Handbook of Fire Protection Engineering, 3rd Edition, 2002. Calculations are based on certain assumptions and have inherent limitations. The results of such calculations may or may not have reasonable predictive capabilities for a given situation and should only be interpreted by an informed user. Although each calculation in the spreadsheet has been verified with the results of hand calculation, there is no absolute guarantee of the accuracy of these calculations. Any questions, comments, concerns, and suggestions, or to report an error(s) in the spreadsheet, please send an email to David.Stroup@nrc.gov or Naeem.Iqbal@nrc.gov.

Prepared by:

Date:

Organization:

Checked by:

Date:

Organization:

Additional Information:

原子炉格納容器内オペレーティングフロア最上部の煙感知器設置及び 保守点検に係る作業計画について（1／4）

1. 作業計画

- 案1（グレーチング上部に煙感知器を設置）及び案2（ポーラクレーン付近に煙感知器を設置）の感知器設置は、電線管等も含めて格納容器壁面へ設置することから、いずれの場合も足場が必要となる。
- 感知器取替時は、案1の場合は足場設置が不要であるが、案2の場合は、安全を確保する観点から設置時と同様の足場設置が不可欠と判断※1し、足場設置を前提とした作業計画を検討した。
- 案1及び案2の作業手順の概要及び作業日数を下表に示す。

| 作業内容 | 手順 案1 グレーチング上部 | 手順 案2 ポーラクレーン付近 |
|---------|--|---|
| | 足場組立（5m） サポート溶接 電線管布設 感知器取付 試験調整 足場解体 | 足場組立（17m） サポート溶接 電線管布設 感知器取付 試験調整 足場解体 |
| | (作業日数 4日間) | (作業日数 14日間) |
| 煙感知器の設置 | 足場設置は不要 (感知器取替は専用治具により実施可) ⇒ 参考 資料参照 | 足場設置（17m） 感知器取替 足場解体 |
| | (作業日数 1日間) | (作業日数 6日間) |

※1：案2は当初、ポーラクレーンから、安全帯による墜落防止措置を講じながら手指越しにクレーンガータ上に降り、専用治具（長さ6m）を用いて実施することを想定したが、高所かつ狭隘な場所での作業となり、作業員の墜落又は工具の落下等の労働安全リスクが非常に高いことを踏まえ、最大限安全を確保する観点から、設置時と同様の足場設置が不可欠と判断し、足場設置を前提とした作業計画を検討した。

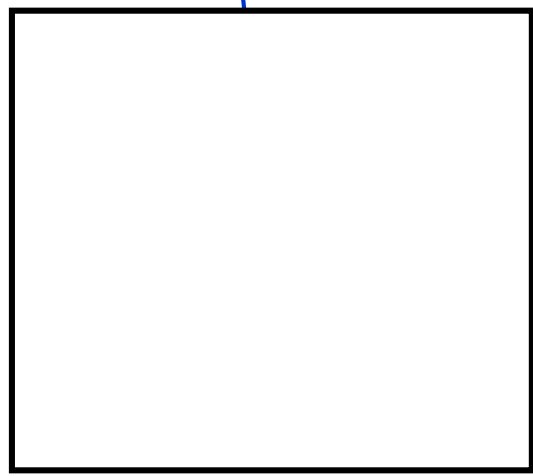
※2：消防法に基づく定期的な点検（外観点検、作動試験）については、案1と案2のいずれにおいても直接目視又は双眼鏡による点検及び遠隔試験機能を用いた作動試験にて対応可能であり、足場の設置は不要。ただし、感知器は一般産業品であり、劣化を考慮した定期取替及び偶発故障時の取替が必要なため、感知器取替作業について比較検討を実施した。

原子炉格納容器内オペレーティングフロア最上部の煙感知器設置及び 保守点検に係る作業計画について（2／4）

2. 作業手順（詳細）

（1）煙感知器の設置時

| 【案 1] | 【案 2] |
|---|---|
| <ul style="list-style-type: none">・グレーチング上に約5mの足場を設置・壁面にサポート溶接、ケーブル・電線管を敷設し、煙感知器を設置 <p>案 1 の足場設置、作業範囲を青色で示す。</p> | <ul style="list-style-type: none">・グレーチング上に約13mの足場を設置し、さらにクレーンガータ上に約4m（計17m）の足場を設置・壁面にサポート溶接、ケーブル・電線管を敷設し、煙感知器を設置 <p>案 2 の足場設置、作業範囲を赤色で示す。</p> |



□ グレーチング床

□ 格納容器

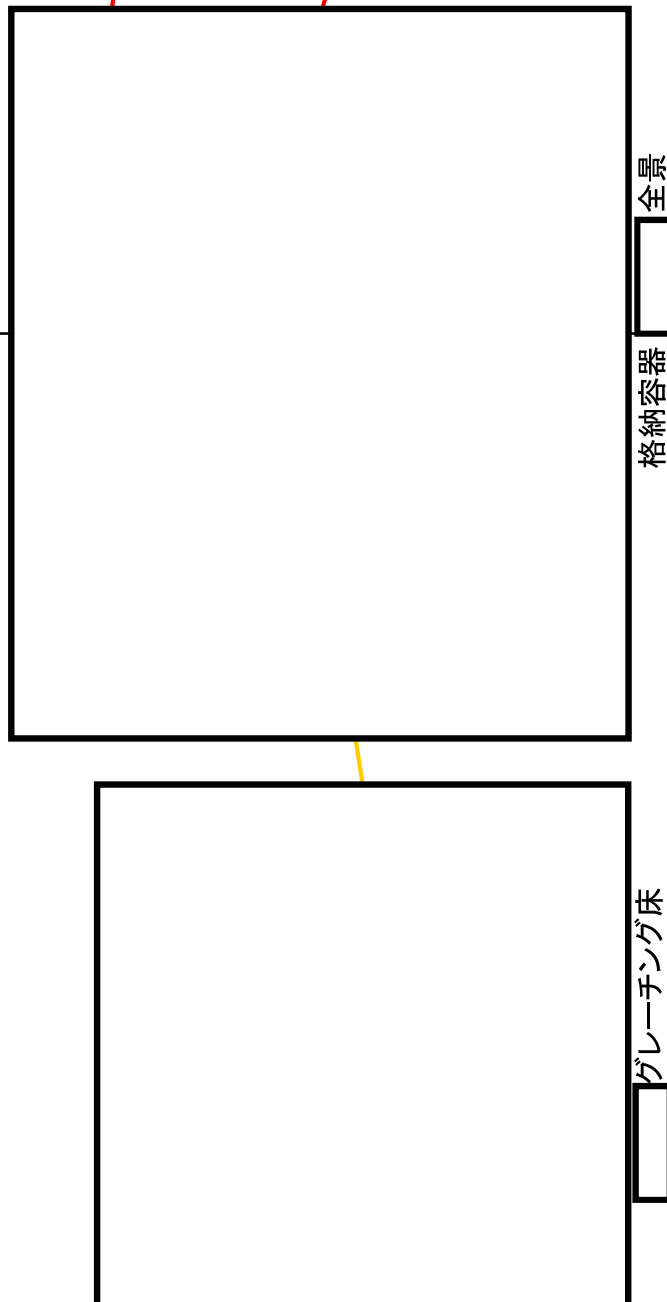
□ 全景

□ グレーチング床

原子炉格納容器内オペレーティングフロア最上部の煙感知器設置及び 保守点検に係る作業計画について（3／4）

2. 作業手順（詳細）

（2）煙感知器の保守点検（定期取替・故障時対応）

| 【案 1 □□】 | 【案 2 □□】 |
|--|--|
| <p>・グレーチング上で専用治具を使用して感知器取替 （足場設置は不要）</p> <p>案 1 の作業範囲を黄色で示す。</p> | <p>・設置時と同様にグレーチング上に約13mの足場を設置、さらにクレーンガーター上に約4m（計17m）の足場を設置※し、感知器取替ガータ上の作業（写真①）は高所かつ狭隘な場所で専用治具（6m、1.6kg）を用いた作業であり、労働安全リスク大のため実施しない。</p> <p>案 2 の足場設置、作業範囲を赤色で示す。</p>  <p>格納容器 □ 全景 □ グレーチング床</p> |

※：案 2において、作業用の恒設架台をクレーンの旋回に干渉しない高さまで設置することはできるが、その上部については都度足場の設置が必要となり、作業時の安全性向上、作業日数の短縮にほとんど寄与しないことから、感知器取替作業の都度グレーチング床から足場を設置する方法を採用する。

原子炉格納容器内オペレーティングフロア最上部の煙感知器設置及び
保守点検に係る作業計画について（4／4）

参考

【参考】

保守点検時に使用する専用治具（支持棒）の構造、使用イメージを示す。

(1) 名称：支持棒

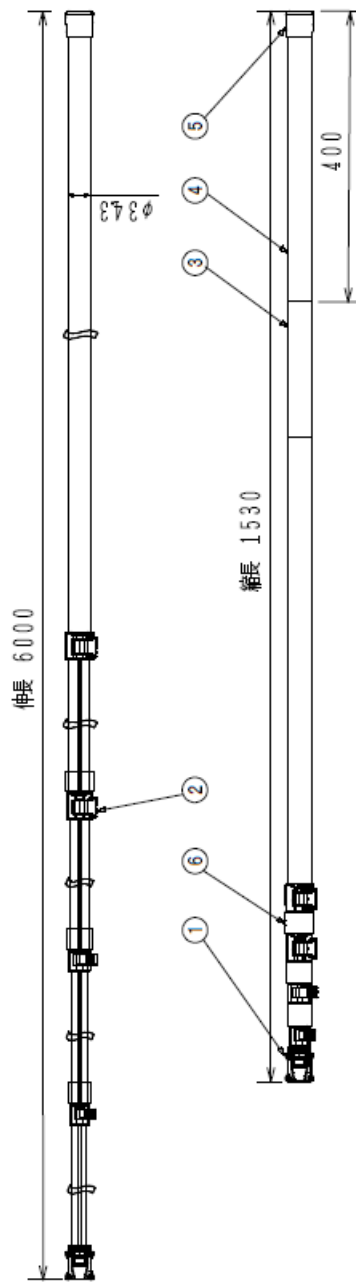
(2) 材質：アルミニウム

(3) 重量：約1.6kg

(4) 特徴：1.53m～6mの範囲で伸縮し、支持棒の先端に感知器取替用の着脱器
又は各種感知器作動試験器を用途に応じて付替え可能



使用イメージ



①接続金具、②ロックレバー、③注意シール、④支持棒本体、⑤石突きゴム、⑥ゴム

構造図